

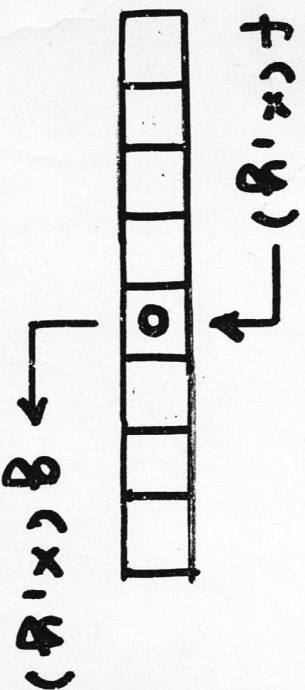
Jednopunktowe metody

Przetwarzania obrazu

point operations

$$g(x, y) = h[f(x, y)]$$

Szybka metoda liczenia wykorzystuje technikę tabelaryzacji: wartości argumentu f stanowią adres elementu tablicy (rejestr) zawierającego odpowiedni wartość g



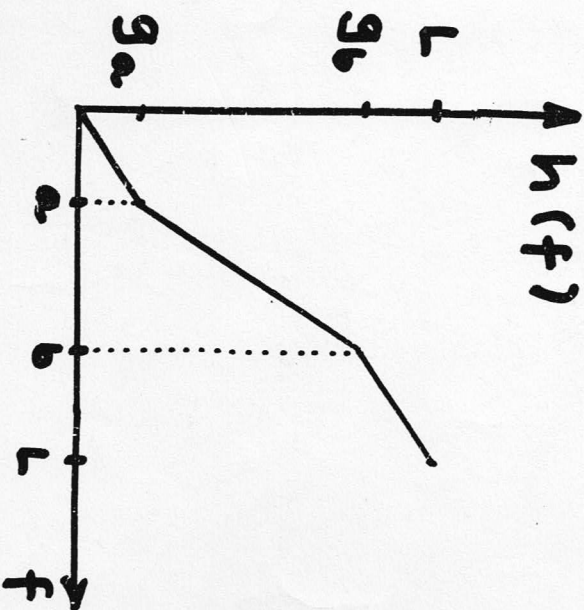
LUT - look-up-table

Zmiana kontrastu

contrast stretching

$$h(f) =$$

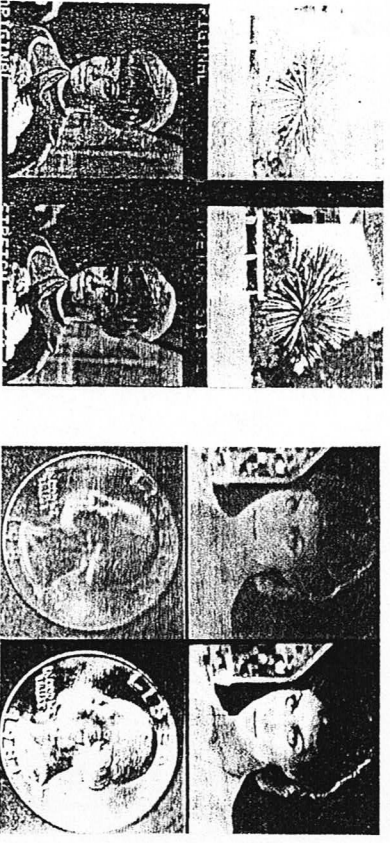
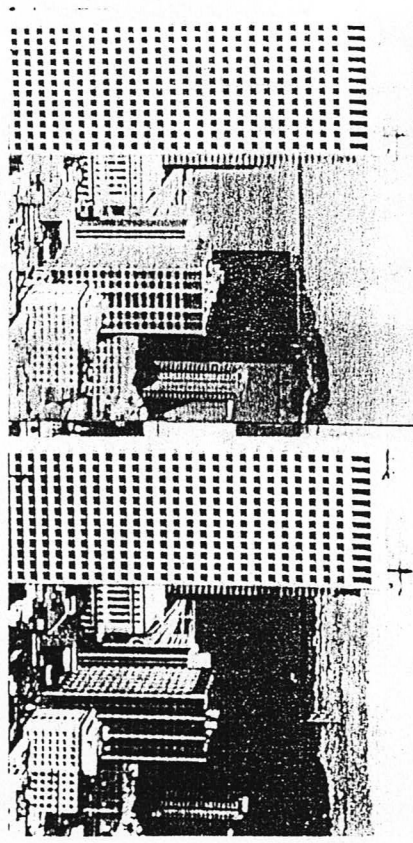
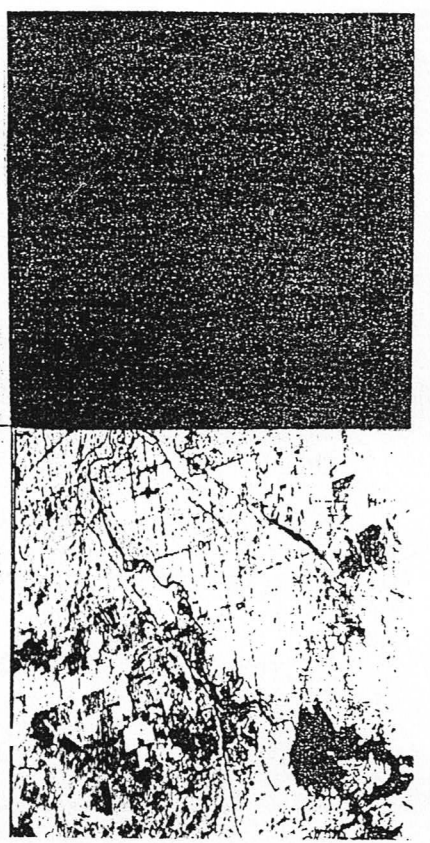
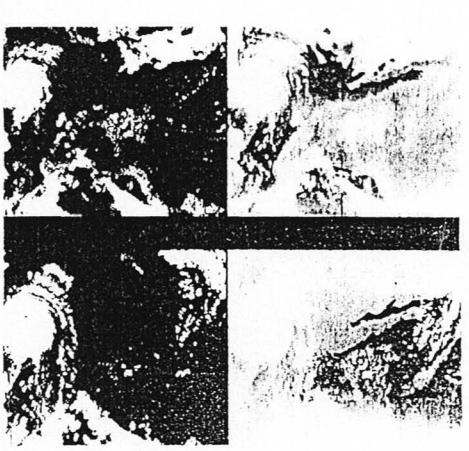
$$= \begin{cases} \alpha f & 0 \leq f < a \\ \beta(f-a) + g_a & a \leq f < b \\ \gamma(f-b) + g_b & b \leq f < L \end{cases}$$



Parametry a i b wyznacza się badając histogram obrazu

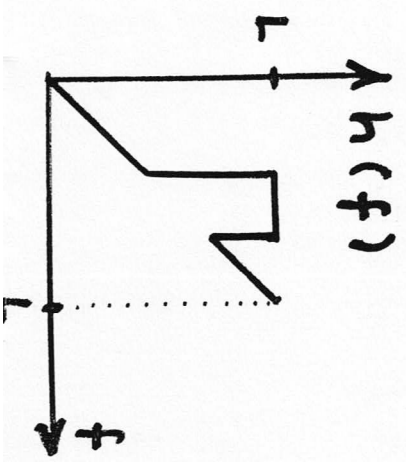
Selekcijone wzmacnienie

intensity level slicing



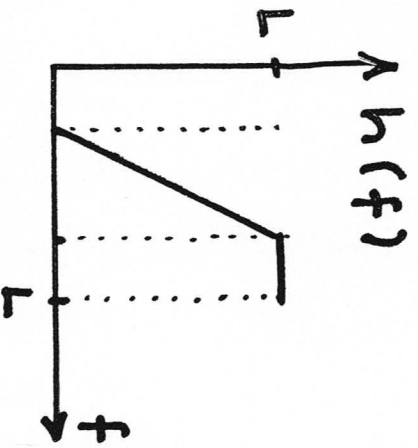
Wyniki otrzymano na drodze zmiany kontrastu

$$h(f) = \begin{cases} L & \text{gd}y f \in [a, b] \\ f & \text{gd}y f \notin [a, b] \end{cases}$$



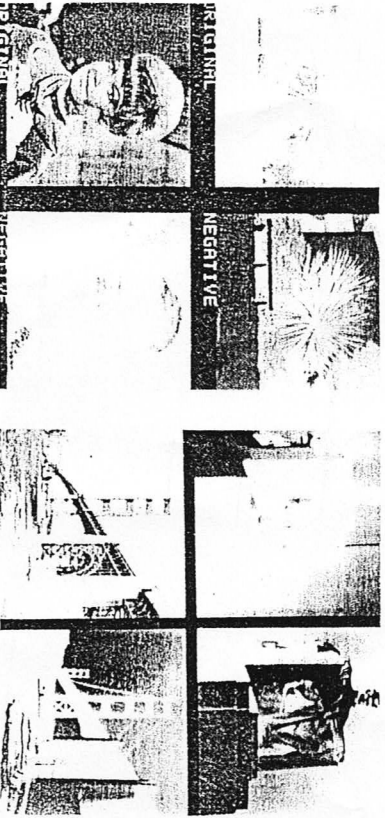
Obcinanie

clipping



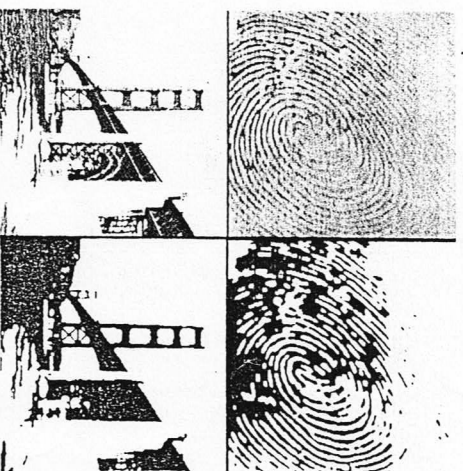
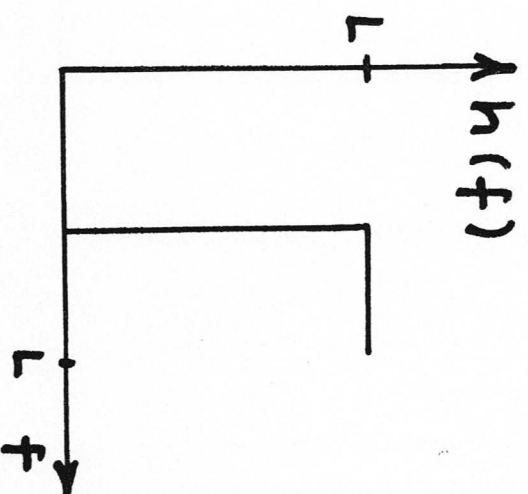
Tworzenie negatywu
digital negative

$$h(f) = L - f$$



Binaryzacja (progowanie)

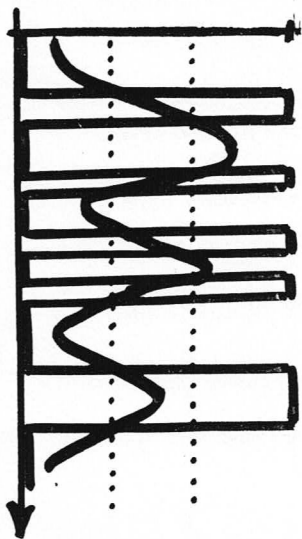
thresholding



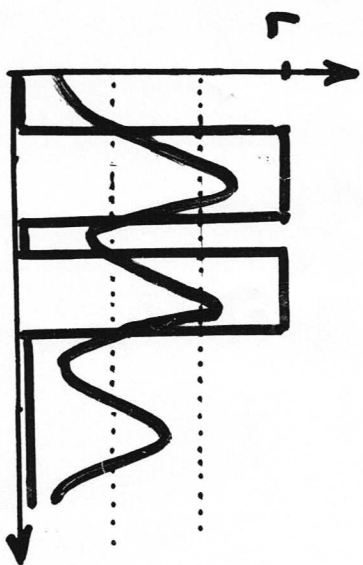
Zastosowanie binaryzacji

Stosowane warianty binaryzacji

- binaryzacja z podwyższonym ograniczeniem



- binaryzacja wariantowa (z niestereozą)



Analiza bitowa

bit extraction

Ilie jest znaczących bitów w cyfrowej reprezentacji obrazu?

$$f = k_1 2^{B-1} + k_2 2^{B-2} + \dots + k_B$$

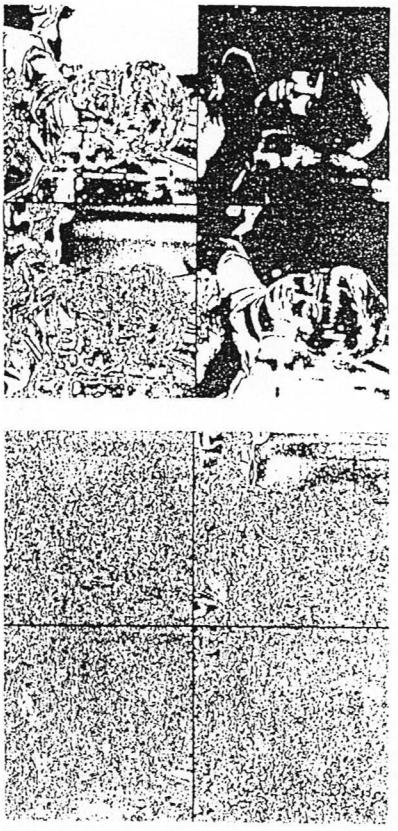
$$h(f) = \begin{cases} L & \text{gd}y \ k_n = 1 \\ 0 & \text{gd}y \ k_n = 0 \end{cases}$$

$$k_n = i_n - 2^{i_n - 1}$$

gdzie

$$i_n = \left\lceil \frac{f}{2^{B-n}} \right\rceil$$

a $\lceil \cdot \rceil$ jest symbolem funkcji *entier*



1	2
3	4

5	6
7	8

Zastosowanie analizy bitowej

Odejmowanie obrazów

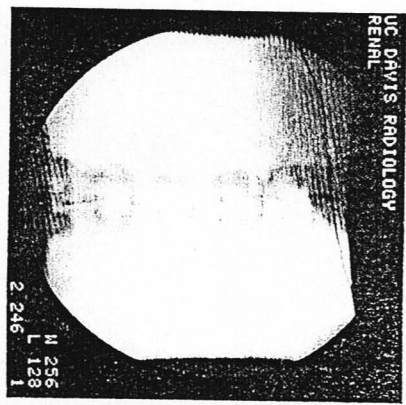
image subtraction

$$g(x,y) = h[f_1(x,y) - f_2(x,y)]$$

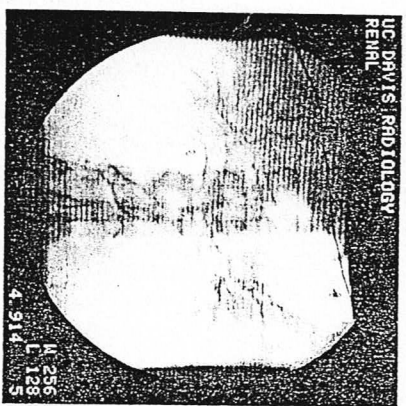
gdzie

$$h(f) = \begin{cases} L & \text{gdzy } f > L \\ f & \text{gdzy } 0 \leq f \leq L \\ 0 & \text{gdzy } f < 0 \end{cases}$$

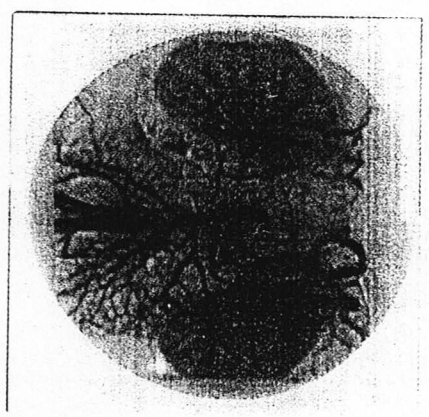
Zastosowanie metody odejmowania obrazów



a) Precontrast



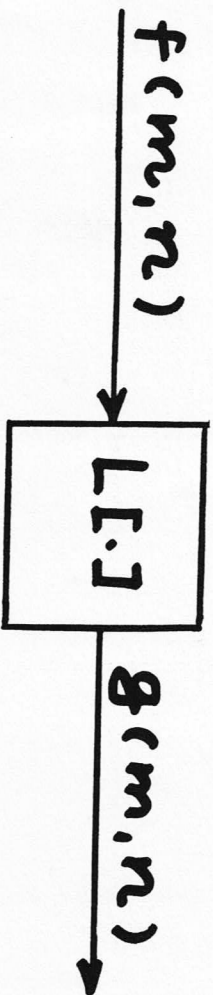
b) Postcontrast



- obróbka zdjęć rentgenowskich
- wykrywanie błędów montażu powierzonego układu elektronicznego
- wykrywanie ruku

Podstawowe pojęcia teorii
liniowych układów dwuwymiarowych

$$f(m, n) = f_a(m, n) + f_b(m, n)$$



$$g(m, n) = L[f(m, n)]$$

Układ dwuwymiarowy nazywany liniowym jeżeli spełnia warunki

$$\begin{aligned} L[a_1 f_1(m, n) + a_2 f_2(m, n)] \\ = a_1 L[f_1(m, n)] + a_2 L[f_2(m, n)] \end{aligned}$$

dla dowolnych wartości a_1, a_2, m, n .

Odpowiedzią impulsową układu dwuwymiarowego nazywamy funkcję

$$\begin{aligned} h(m, n; m', n') &\triangleq \\ &= L[\delta(m - m', n - n')] \end{aligned}$$

gdzie $\delta(m - m', n - n')$ oznacza funkcję delta Kroneckera umieszczonej w punkcie (m', n')

Zauważmy, że

$$\begin{aligned} g(m, n) &= L[f(m, n)] = \\ &= L\left[\sum_{m'} \sum_{n'} f(m', n') \cdot \delta(m - m', n - n') \right] \end{aligned}$$

$$= \sum_{m'} \sum_{n'} f(m', n')$$

$$\cdot \mathcal{L}[S(m-n)] =$$

$$= \sum_{m'} \sum_{n'} f(m', n') h(m, n; m', n')$$

Układ niezmierniczy
względem przesunięć

Shift invariant
Spatially invariant

$$h(m, n; m', n') =$$

$$= h(m-n, n-n')$$

$$g(m, n) = f(m, n) * h(m, n)$$

$$= \sum_{m'} \sum_{n'} f(m', n')$$

$$\cdot h(m-m', n-n') =$$

$$= \sum_{m'} \sum_{n'} h(m', n')$$

$$\cdot f(m-m', n-n')$$

Dwuwymiarowa transformata Z

$$F(z_1, z_2) =$$

$$= \sum_{m, n} f(m, n) z_1^{-m} z_2^{-n}$$

$$f(m, n) = \frac{1}{(2\pi j)^2} \oint \oint$$

$$F(z_1, z_2) z_1^{m-1} z_2^{n-1} dz_1 dz_2$$

$$G(z_1, z_2) = H(z_1, z_2) F(z_1, z_2)$$

Układy separowalne

Układ nazywamy separowalnym jeżeli spełnia warunek

$$h(m, n) = h_1(m)h_2(n)$$

lub równoważnie

$$H(z_1, z_2) = H_1(z_1)H_2(z_2)$$

separability condition

Jeśli spełniony jest warunek separowalności

$$\begin{aligned}g(m, n) &= h(m, n) * f(m, n) \\ &= h_1(m) * [h_2(n) * f(m, n)]\end{aligned}$$

Jeśli spłot dwuwymiarowy można liczyć jako złożenie dwóch spłotów jednowymiarowych

Stabilność układów dwuwymiarowych

Warunek stabilności układu niezmienniczego względem przesunięć ma postać

$$\sum_m \sum_n |h(m, n)| < \infty$$

Dla układów wymiennych i separowalnych oznacza to, że bieżący transmittanci $H_1(z_1)$ i $H_2(z_2)$ muszą być potężone we wnętrzu drugiego jednostkowego na płaszczyźnie zespolonej

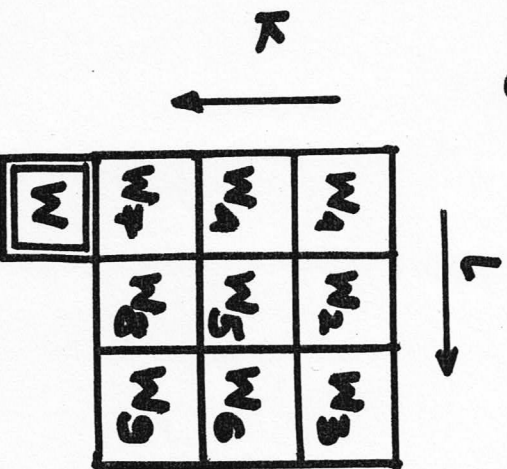
UKłady o skończonych odpowiedzi impulsowej

FIR - finite impulse response

$$g(m, n) = \sum_{(k, l)} \sum_{\in W} w$$

$$h(k, l) f(m-k, n-l)$$

gdzie W oznacza dwuwymiarowe okno ("maskę") filtracji



$$g(m, n) =$$

$$= \frac{1}{W} [w_1 f(m-1, n-1) + w_2 f(m-1, n) + w_3 f(m-1, n+1) + w_4 f(m, n-1) + w_5 f(m, n) + w_6 f(m, n+1) + w_7 f(m+1, n-1) + w_8 f(m+1, n) + w_9 f(m+1, n+1)]$$

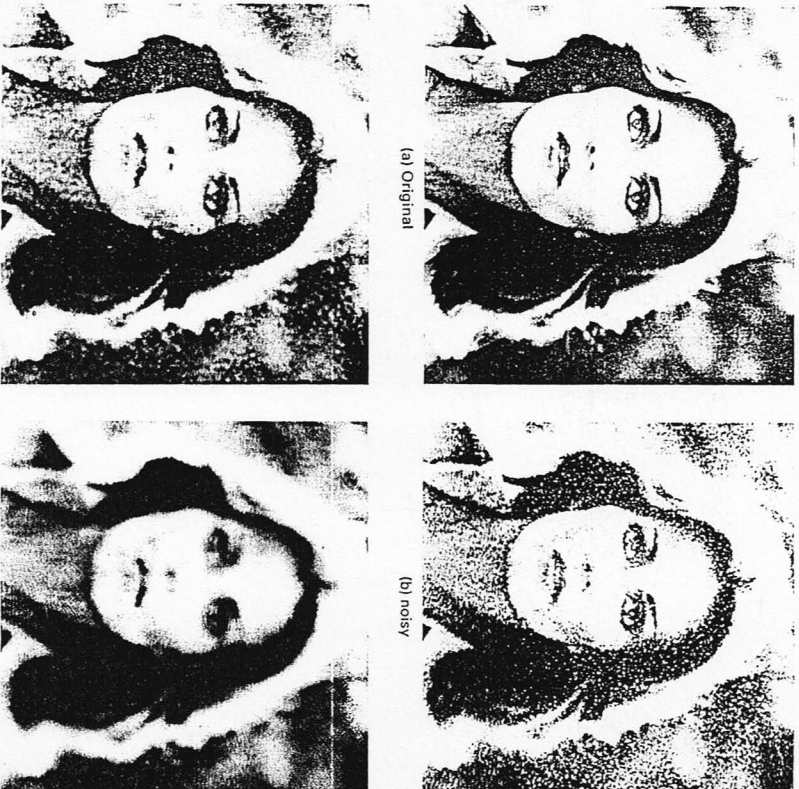
Filtry dolnopaśmowe

filtr uśredniający

$$g(m, n) =$$

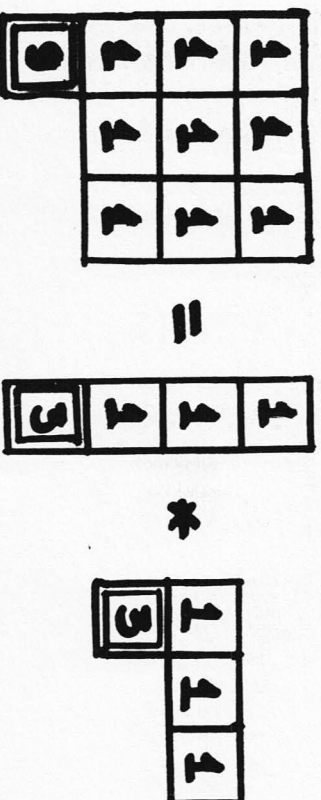
$$= \frac{1}{N} \sum_{(k, l) \in W} f(m-k, n-l)$$

gdzie N oznacza liczbę pikseli tworzących okno W

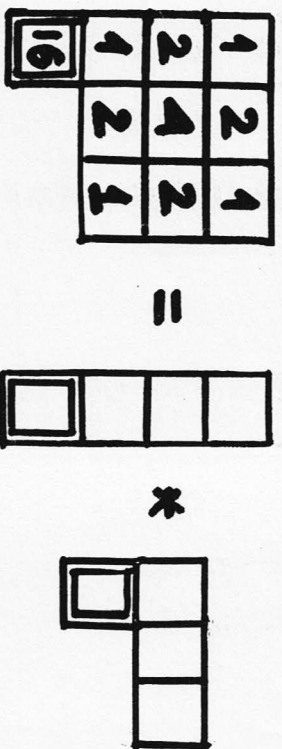


działanie filtru
wśredniającego

Uśrednianie z oknem prostokątnym jest operacją separowalną tj. równoważną uśrednianiu po wierszach a następnie po kolumnach (lub odwrotnie)



Uśrednianie nierównomierne



separowalne

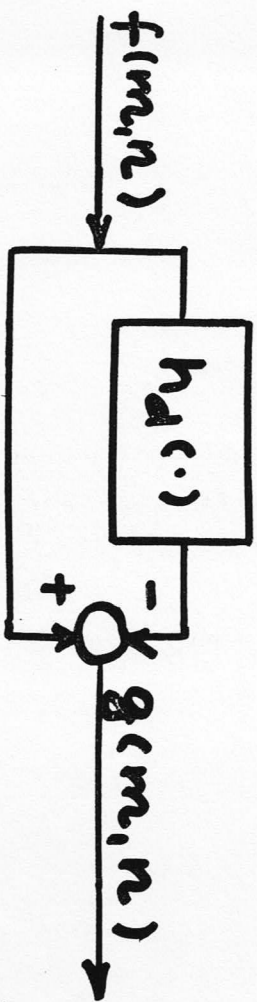
0	1	0
1	4	1
0	1	0

8

nieseparowalne

Filtracja gromopasmowa

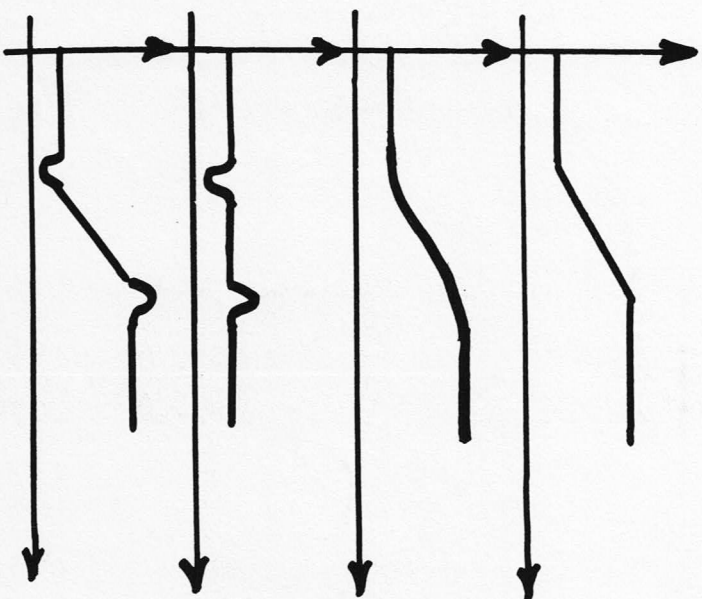
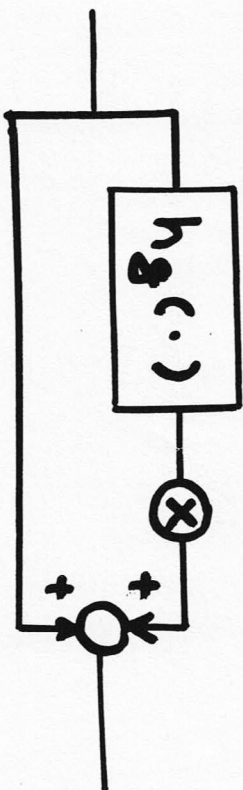
$$h_g(m,n) = \delta(m,n) + -h_d(m,n)$$



0	-1	0
-1	4	-1
0	-1	0

1

Zastosowanie filtracji gromopasmowej, do podkreślenia krawędzi



unsharp masking
crispening

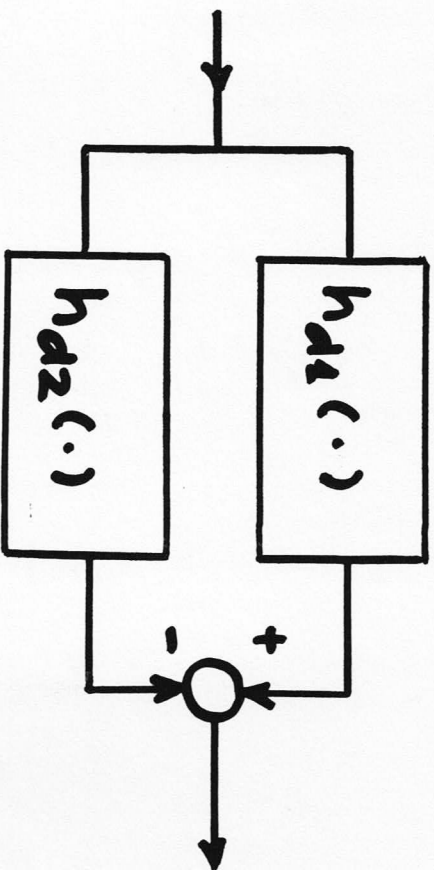
Maski często stosowanych
filtrów gornoprzepustowych

1	-2	1
-2	5	-2
1	-2	1

-1	-1	-1
-1	9	-1
-1	-1	-1

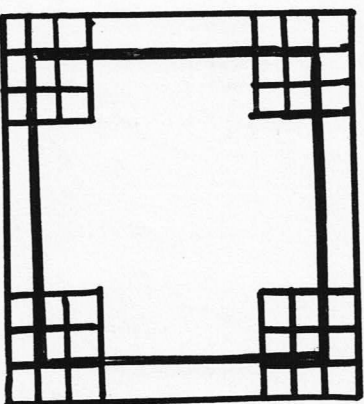
0	-1	0
-1	5	-1
0	-1	0

Filtracja środkoprzepustowa

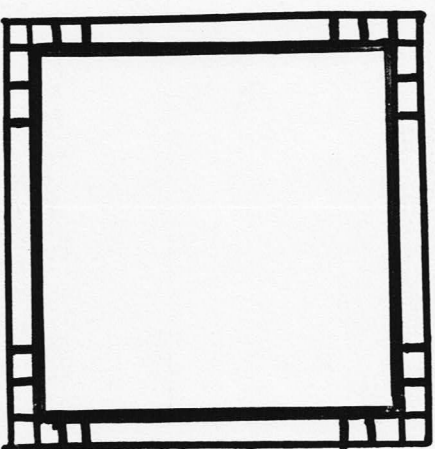


Rozwiązanie problemu
brzegowych

a) zmniejszenie rozmiaru
obrazu wyjściowego



b) powiększenie obrazu
wyjściowego o dodatkowe
piksele



Filtry o nieskończonym
odpowiedzi impulsowej
(rekurencyjne)

IIR - infinite impulse response

$$g(m, n) = \sum_{(k, l) \in S_1} \sum_{(k, l) \in S_2} a(k, l) g(m-k, n-l) + \sum_{(k, l) \in S_2} b(k, l) \cdot f(m-k, n-l)$$

$$H(z_1, z_2) = \frac{B(z_1, z_2)}{A(z_1, z_2)}$$

gdzie

$$B(z_1, z_2) =$$

$$= \sum_{(k, l) \in S_2} \sum_{(k, l) \in S_2} b(k, l) z_1^{-k} z_2^{-l}$$

$$A(z_1, z_2) = 1 +$$

$$- \sum_{(k, l) \in S_1} \sum_{(k, l) \in S_1} a(k, l) z_1^{-k} z_2^{-l}$$

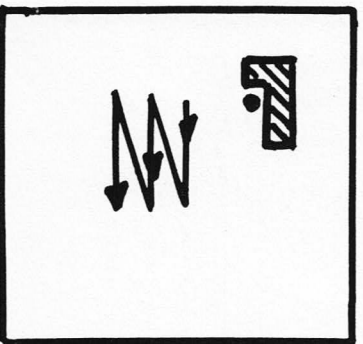
Pojęcie przyczynowości w
teorii układów dwuwymiar-
owych

wannek przyczynowości
układu jednowymiarowego

$$h(t) = 0 \quad \forall t < 0$$

Filtracja dwukierunkowa

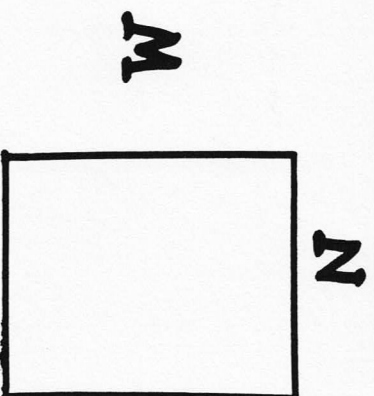
Pierwsza faza:



druga faza:



Dwukierunkowa transformata Fouriera



$$F(p, q) =$$

$$= \sum_{m=0}^{M-1} \sum_{n=0}^{N-1} f(m, n) W_M^{mp} W_N^{nq}$$

$$f(m, n) = \frac{1}{MN}$$

$$\sum_{p=0}^{M-1} \sum_{q=0}^{N-1} F(p, q) W_M^{-mp} W_N^{-nq}$$

gdzie

$$W_M = e^{-\frac{2\pi i}{M}} \quad W_N = e^{-\frac{2\pi i}{N}}$$

transformata Fouriera
jest przekształceniem
separowalnym

$$F'(m, n) = \sum_{n=0}^{N-1} f(m, n) W_N^{nq}$$

$$F(p, q) = \sum_{m=0}^{M-1} F'(m, q) W_M^{mp}$$

Gdy M i N są potęgami liczby
2 do obliczeń można użyć
szybkiej transformaty
Fouriera (FFT)

RCFFT - row-column fast
Fourier transform

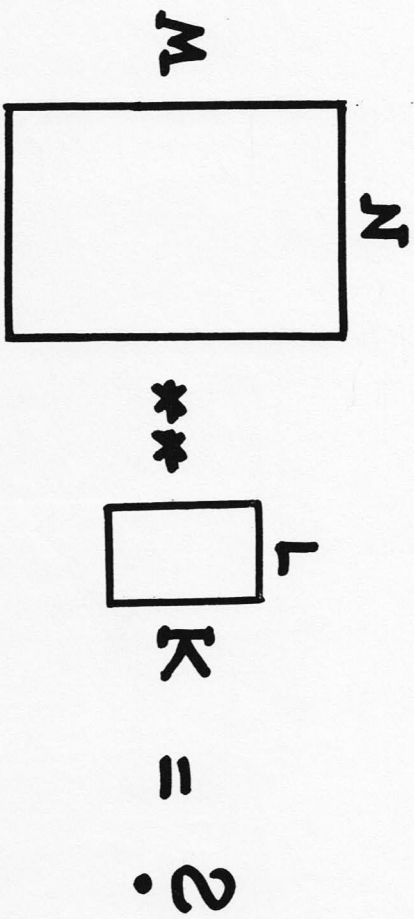
$$\frac{MN}{2} \log_2 (M \cdot N)$$

możeni zespolonych

Zastosowanie transformaty
Fouriera do liczenia
dwuwymiarowego spłotu

$$g(m, n) = \sum_{k=0}^{K-1} \sum_{l=0}^{L-1} h(k, l) \cdot$$

$$f(m-k, n-l)$$



$$g(m, n) \stackrel{?}{=} ?$$

$$= \text{IDFT} \{ \text{DFT} [h(m, n)] \cdot \text{DFT} [f(m, n)] \}$$

1. Wybieramy wielkość P i Q spełniające warunki

$$P \gg K + M - 1$$

$$Q \gg L + N - 1$$

2. Uzupełniamy zerami ciąg $h(k, l)$ i $f(m, n)$ zero padding

$$h_z(k, l) =$$

$$= \begin{cases} h(k, l) & (k, l) \in \mathbb{R}_{K \times L} \\ 0 & (k, l) \in \mathbb{R}_{P \times Q} - \mathbb{R}_{K \times L} \end{cases}$$

$$f_z(m, n) =$$

$$= \begin{cases} f(m, n) & (m, n) \in \mathbb{R}_{M \times N} \\ 0 & (m, n) \in \mathbb{R}_{P \times Q} - \mathbb{R}_{M \times N} \end{cases}$$

3. Wyznaczamy transformatę Fouriera

$$H_z(p, q) = \text{DFT}[h_z(k, l)]$$

$$F_z(p, q) = \text{DFT}[f_z(m, n)]$$

4. Wyznaczamy transformatę Fouriera poszerzonego obrazu wyjściowego

$$G_z(p, q) =$$

$$= H_z(p, q) F_z(p, q)$$

5. Wyznaczamy obraz wyjściowy

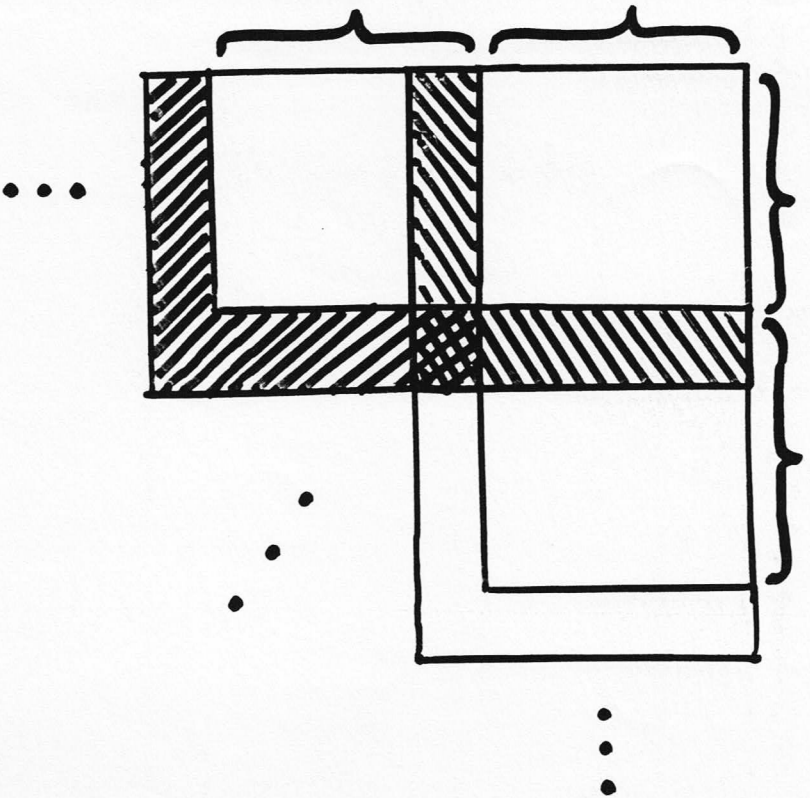
$$g_z(k, l) = \text{IDFT}[G_z(p, q)]$$

$$g(k, l) = g_z(k, l)$$

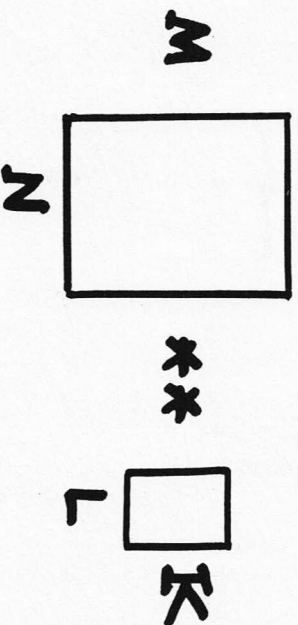
$$(k, l) \in \mathbb{R}_{M \times N}$$

Liczenie splatu metodą
podziału na podobszary

over-lap-add



Porównanie złożoności
obliczeniowej różnych
metod liczenia splatu



metoda bezpośrednia:

$$\sim KL \cdot MN$$

metoda „wiersze-kolumny”
(dla filtrów separowalnych)

$$\sim (K + L) \cdot MN$$

metoda FFT:

$$\sim 4(M + K)(N + L) \cdot$$

$$\cdot \log_2[(M + K)(N + L)]$$

Filtracja IIR w dziedzinie częstotliwości

$$G(p, q) = H(p, q)F(p, q)$$

gdzie

$$H(p, q) = \frac{1}{1 + \left[\frac{D(p, q)}{D(p_0, q_0)} \right]^{2n}}$$

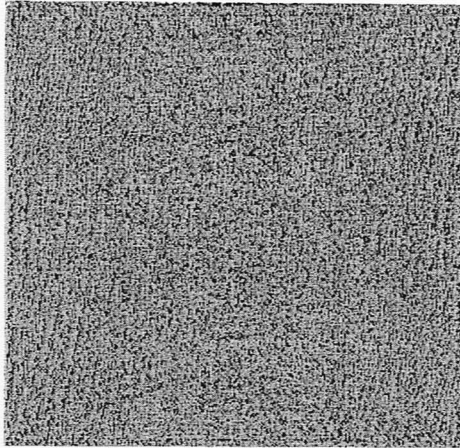
w przypadku filtracji dol-
napiasnowej oraz

$$H(p, q) = \frac{1}{1 + \left[\frac{D(p_0, q_0)}{D(p, q)} \right]^{2n}}$$

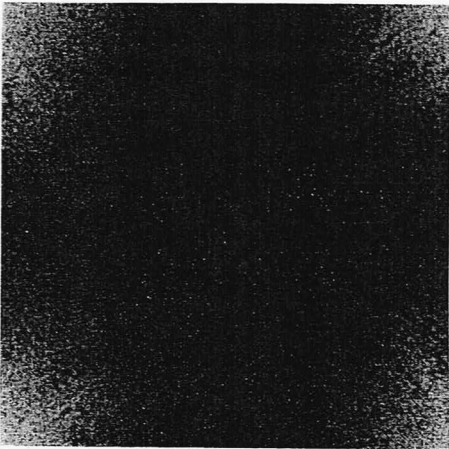
$D(p, q)$ oznacza odlegość w
dziedzinie częstotliwości zaś
 p_0 i q_0 - częstotliwości odcięcia



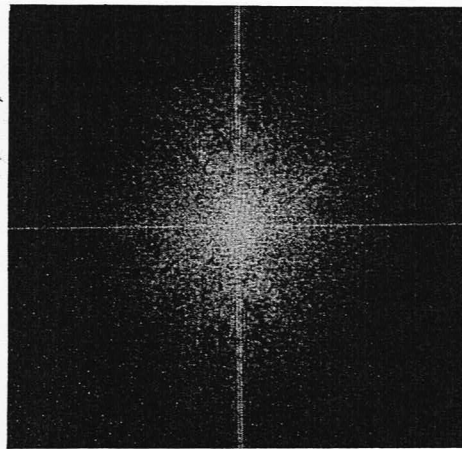
(a) Original image;



(b) phase;



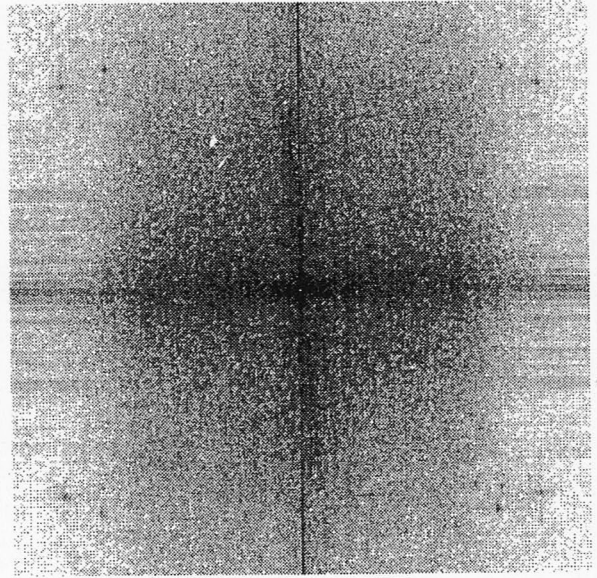
(c) magnitude;



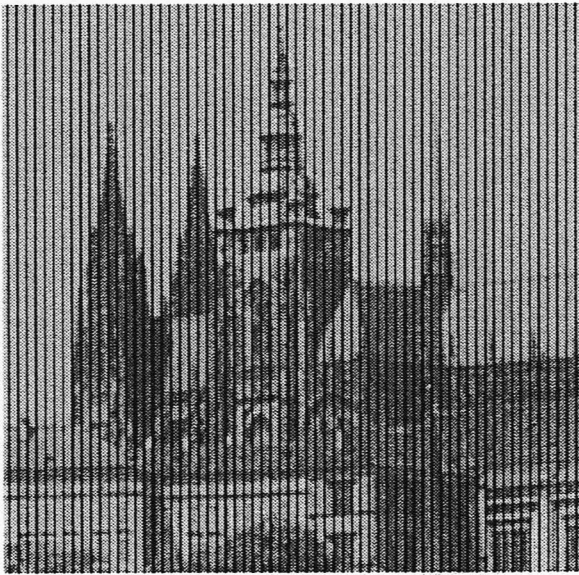
(d) magnitude centered.



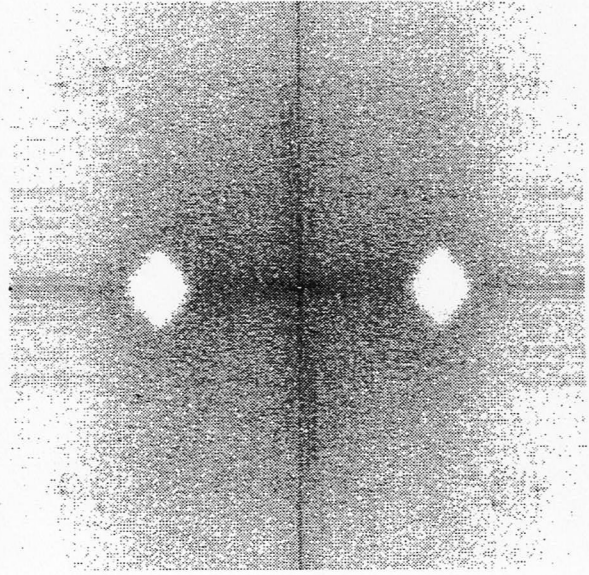
(a)



(b)



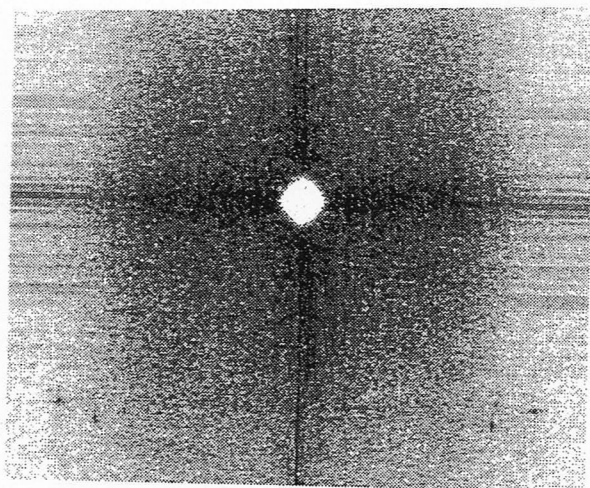
(a)



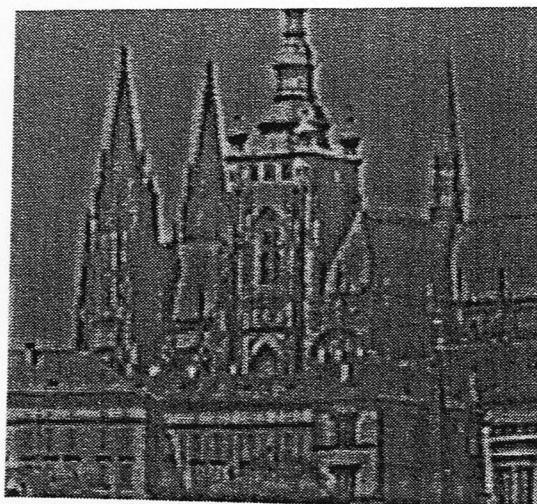
(b)



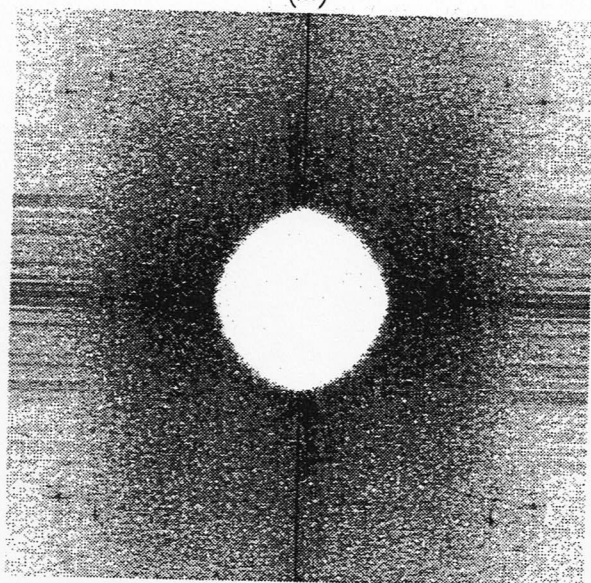
(c)



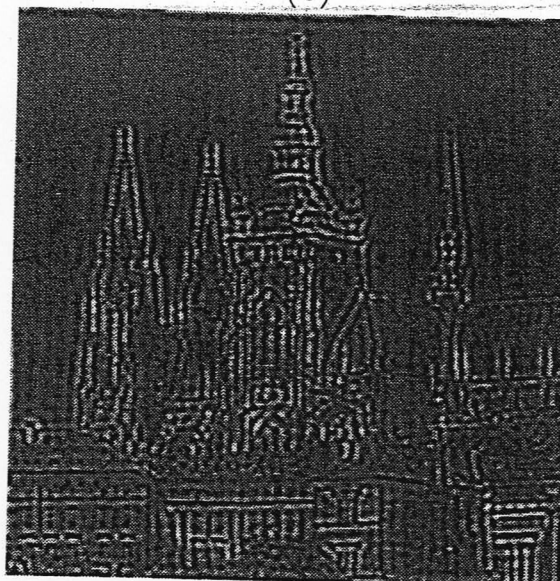
(a)



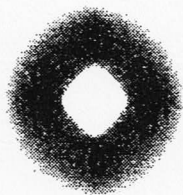
(b)



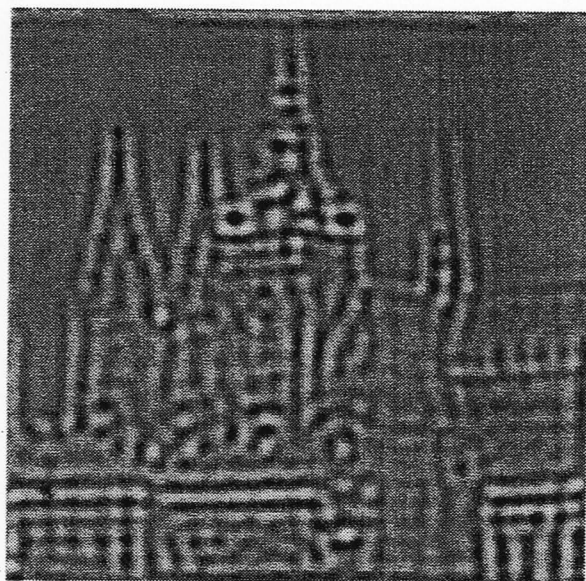
(c)



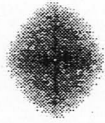
(d)



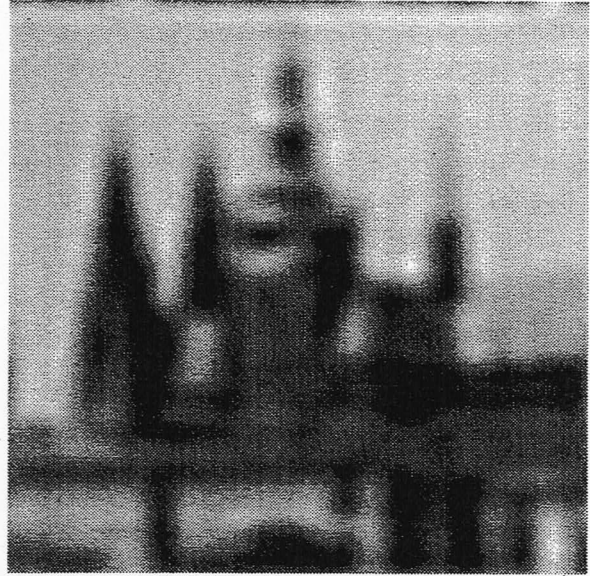
(a)



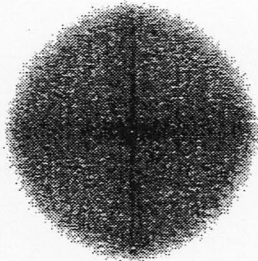
(b)



(a)



(b)

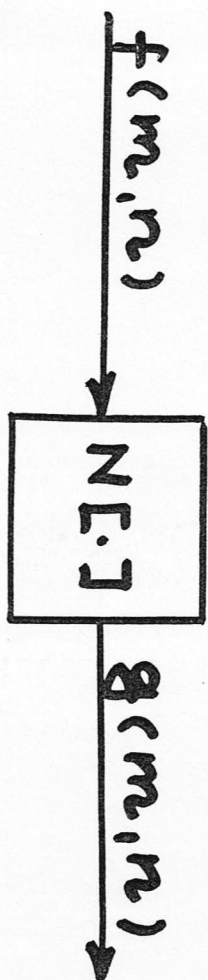


(c)



(d)

Filtracja nieliniowa



$$\begin{aligned} N[a_1 f_1(m, n) + a_2 f_2(m, n)] \\ \neq a_1 N[f_1(m, n)] + \\ + a_2 N[f_2(m, n)] \end{aligned}$$

Jednowymiarowy filtr medianowy i jego własności

Rozważmy ciąg x_1, \dots, x_{2k+1} . Niechaj $\tilde{x}_1, \dots, \tilde{x}_{2k+1}$ oznacza ten sam ciąg uporządkowany rosnąco (lub malejąco)

$$\tilde{x}_1 = x_{i_1} \leq \tilde{x}_2 = x_{i_2} \leq \dots$$

$$\dots \leq \tilde{x}_{2k+1} = x_{i_{2k+1}}$$

Medianą ciągu $\{x_i\}$ nazywamy wielkość

$$\begin{aligned} \text{med}\{x_1, \dots, x_{2k+1}\} = \\ = \tilde{x}_{k+1} \end{aligned}$$

Uwaga 1

N przypadku, gdy liczba próbek jest parzysta korzysta się z zależności

$$\begin{aligned} \text{med}\{x_1, \dots, x_{2k}\} = \\ = \frac{\tilde{x}_k + \tilde{x}_{k+1}}{2} \end{aligned}$$

Uwaga 2

Przypuśćmy, że należy oszacować nieznaną wielkość X na podstawie pomiarów x_1, \dots, x_n , $n = 2k + 1$ obserwowanych błędnie przypadkowych (wzajemnie niezależnych) o rozkładzie Laplace'a

$$X_i = X + N_i$$

$$P(N_i) = \frac{1}{2} e^{-|N_i|}$$

Funkcja wiarygodności Fishera przyjmuje wówczas postać

$$P(X; x_1, \dots, x_n) = \frac{1}{2^n} \exp \left[-\sum_{i=1}^n |x_i - X| \right]$$

a jej maksymalizacja prowadzi się do rozwiązania problemu

$$\sum_{i=1}^n |x_i - X| \rightarrow \min$$

Wykażcie się, że powyższe równanie rozwiązané ma postać

$$\hat{X}_n = \text{med} \{x_1, \dots, x_n\}$$

Ważona mediana

$$\sum_{i=1}^n w_i |x_i - X| \rightarrow \min$$

gdzie $w_i \in \mathbb{C}_+$

$$\hat{X}_n = \text{med} \{w_1 \square x_1, \dots, w_n \square x_n\}$$

gdzie $w_i \square x_i$ oznacza próbkę x_i powiększoną w_i razy

Filter medianowy

median filter

Tukey (1970)

$$y(t) = \text{med}_k \{x(t)\}$$

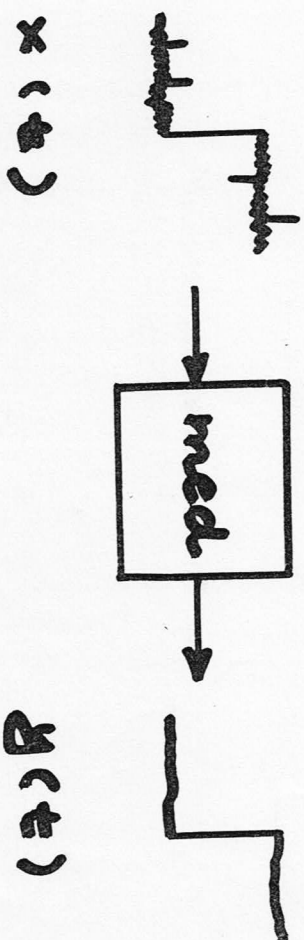
$$= \text{med} \{x(t-k), \dots, x(t-1), x(t), x(t+1), \dots, x(t+k)\}$$

własności:

- eliminuje szum impulsowy (przebieg byłby skutoczny dopiero w sygnali, gdy liczba impulsów zakłócających przekracza 50% liczby wszystkich próbek); wielkość pojedynczych impulsów nie wpływa na sygnał wyjściowy

- tłumia odcyglony szum pomiarowy (choć nieco gorzej niż filtr uśredniający)

- zachowuje kształt sygnału wyjściowego w obszarze jego skokowych zmian



- posiada własność jednorodności f_j :

$$\text{med}_k \{a \cdot x(t)\} = a \cdot \text{med}_k \{x(t)\}$$

dla dowolnego a

- posiada własność sfera-dawania (stacking property)

Zależy, że $x(t)$ jest sygnałem skwantowa-
nym próbkującym M
różnych wartości t_j .
 $0 \leq x(t) < M$.

Niechaj $x^1(t), \dots, x^{M-1}(t)$
oznaczały sygnały otrzy-
mane w wyniku bina-
ryzacji $x(t)$

$$x^m(t) = \begin{cases} 1 & \text{gdys } x(t) \geq m \\ 0 & \text{gdys } x(t) < m \end{cases}$$

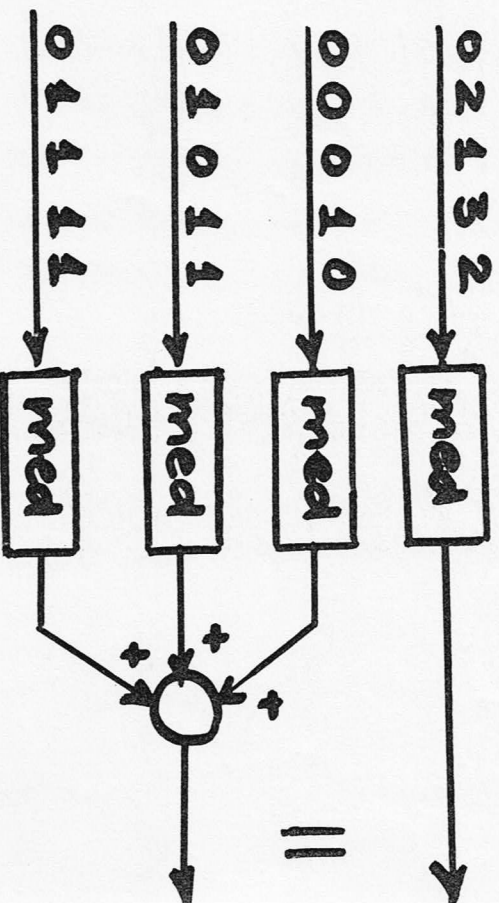
wówczas

$$x(t) = \sum_{m=1}^{M-1} x^m(t)$$

oraz

$$\text{mod}_k \{ x(t) \} = \sum_{m=1}^{M-1} \text{mod}_k \{ x^m(t) \}$$

Ostatnia zależność pozwa-
la na realizację bardzo
szybkich filtrów mediano-
wych (jeśli informacja o
wartościach poszczególnych
bitów jest łatwo dostępna)

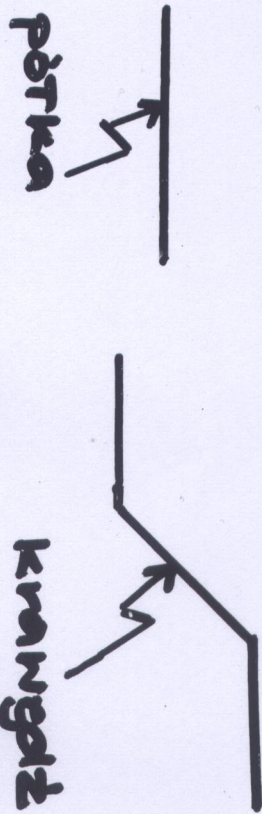


Sygnalny niezmiennicze względem filtracji median- nowej

$$\text{med} \{ x(t-k), \dots, x(t), \dots, x(t+k) \} \stackrel{?}{=} x(t)$$

- pętki (constant neighborhood) - co najmniej $k+1$ identycznych próbek pod rząd.

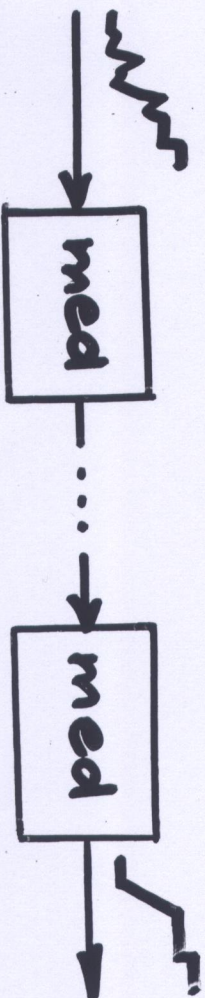
- krawędzie (edges) - ciąg próbek o nierosnących lub niemalejących wartościach poprzedzone i zakończone próbkami



Sygnal złożony wyłącznie z krawędzi i pętka jest niezmienniczy względem filtracji medianowej
root signal

Uwaga

Mielokrotne użycie filtra medianowego zamiennie dowolny sygnał wejściowy o skończonej długości n sygnał niezmienniczy

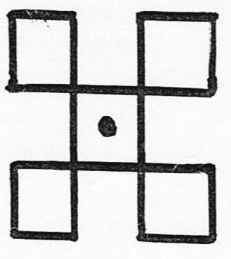
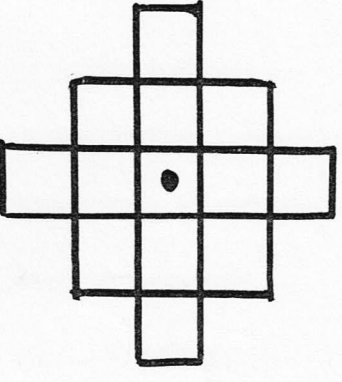
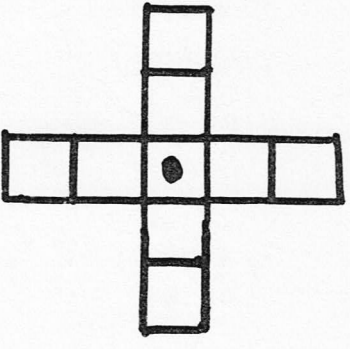
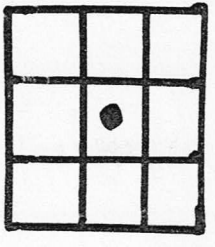


Dwuwymiarowe filtry medianowe

$$g(m, n) =$$

$$= \text{med} \{ f(m-k, n-l), (k, l) \in W \}$$

najczęściej stosowane maski:



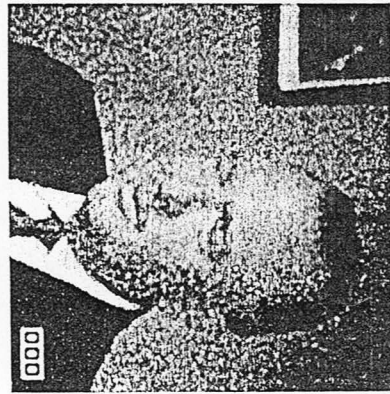
(a) Image with binary noise



(b) 3 x 3 median filtered



(c) Image with Gaussian noise



(d) 3 x 3 median filtered.

działanie filtru medianowego

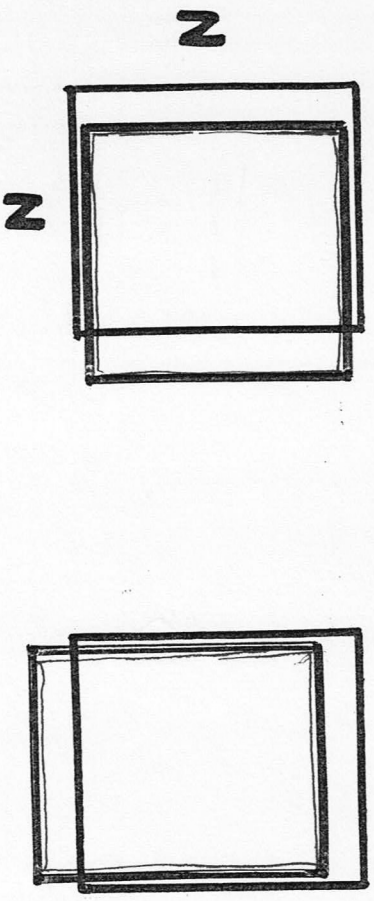
Zalety

- usuwa szum impulsowy i twardy oddźwiękowy szum pomiarowy
- zachowuje ostre krawędzie obrazu

Wady

- usuwa z obrazu linie i zakręglą ostre narożniki
- może tworzyć "plamy" tj. spójne obszary o stałej jasności

Algorytm obliczeniowe



algorytm rekursywny
finding median

$2N$ porównań

algorytm oparte na
szybkim sortowaniu
(Quicksort, Bubble Sort)

$2N^2 \log_2 N$ porównań

Stosowane odmiany filtru medianowego

separowalny filtr medianowy

Separable median filter

$$\begin{aligned}h(m, n) &= \text{med}\{f(m, n-k), \\ &\dots, f(m, n+k)\} \\ g(m, n) &= \text{med}\{h(m-k, n), \\ &\dots, h(m, n+k)\}\end{aligned}$$

wzrosty filtr medianowy

weighted median filter

$$\begin{aligned}g(m, n) &= \\ \text{med}\{w(k, l) \square f(m-k, n-l)\} \\ &\quad c(k, l) \in W \\ &\quad w(k, l) \in C_+\end{aligned}$$

rekursywny filtr medianowy

recursive median filter

$$\begin{aligned}h(m, n) &= \text{med}\{h(m, n-l), \\ &\dots, h(m, n-1), f(m, n), \dots \\ &f(m, n+1), \dots, f(m, n+l)\} \\ g(m, n) &= \text{med}\{g(m-k, n) \\ &\dots, g(m-1, n), h(m, n), \dots \\ &h(m+1, n), \dots, h(m+k, n)\}\end{aligned}$$

wielostopniowa filtracja medianowa

multistage median filtering

zachowuje linie nachylone pod kątem $0^\circ, 45^\circ, 90^\circ, 135^\circ$ oraz tworzone przez te linie narożniki

$$\begin{aligned}
 z_1 &= \text{med} \{ f(m, n-k), \dots, \\
 & f(m, n), \dots, f(m, n+k) \} \\
 z_2 &= \text{med} \{ f(m-k, n), \dots, \\
 & f(m, n), \dots, f(m+k, n) \} \\
 z_3 &= \text{med} \{ f(m-k, n-k), \\
 & \dots, f(m, n), \dots, f(m+k, n+k) \} \\
 z_4 &= \text{med} \{ f(m-k, n+k), \\
 & \dots, f(m, n), \dots, f(m+k, n-k) \} \\
 g(m, n) &= \\
 & \text{med} \{ \text{med} \{ z_1, z_2, f(m, n) \}, \\
 & \text{med} \{ z_3, z_4, f(m, n) \}, \\
 & f(m, n) \}
 \end{aligned}$$

Filtry hybrydowe

FIR - median filters

Jednowymiarowe

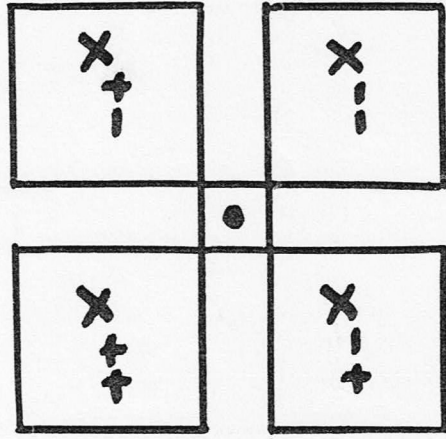
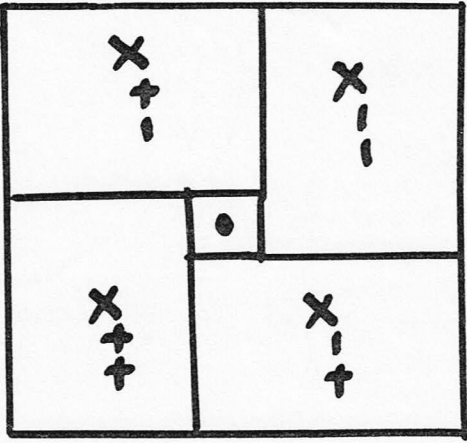
$$y(t) =$$

$$= \text{med} \{ x^-(t), x(t), x^+(t) \}$$

gdzie

$$x^\pm(t) = \frac{1}{k} \sum_{i=0}^k x(t \pm k)$$

- zachowuje ostre krawędzie
- skuteczniejszy niż w oddalonych - tylny szum gaussowski
- niźli filtr medianowy
- tylko w pewnym stopniu redukuje szum impulsowy



duvognianovse

Filtry oparte na statystykach porządkowych

order statistic filters

Zmodyfikowane filtry medianowe

Niechaj

$$y(t) =$$

$$= \frac{1}{2\tilde{k}+1} \sum_{i=-\tilde{k}}^{\tilde{k}} \tilde{x}(t-i)$$

gdzie $\tilde{k} = \alpha k$, $0 \leq \alpha \leq 1$

Zaś $\tilde{x}(t-i)$ oznacza odpowiedni wyraz uporządkowanego ciągu $x(t-k), \dots, x(t+k)$.

α -trimmed mean filters

Własności:

- gdy współczynnik α jest bliski 1 filtr działa podobnie jak filter medianowy
- gdy współczynnik α jest bliski 0 filtr działa podobnie jak filter medianowy

Filtr środkowy

$$y(t) = \frac{1}{2} [\tilde{x}(t-k) + \tilde{x}(t+k)]$$

stosowany do lokalnego uśredniania w przypadku gdy addytywny szum pomiarowy ma rozkład równomierny i nie zachowuje krawędzi

Filtry typu L

L-filters

$$y(t) = \sum_{i=-k}^k a_i \tilde{x}(t-i)$$

gdzie

$$a_i \geq 0$$

$$\sum_{i=-k}^k a_i = 1$$

Założmy, że

$$x(t) = x + z(t)$$

gdzie $\{z(t)\}$ jest ciągiem niezależnych zmiennych losowych o znanym rozkładzie

Rozważmy wskaźnik

$$E[(y(t) - x)^2] =$$

$$= E\left[\left(\sum_{i=-k}^k a_i (\tilde{x}(t-i) - x)\right)^2\right]$$

$$= a^T R a$$

gdzie

$$R = \text{cov} \left\{ \begin{bmatrix} \tilde{z}(t+k) \\ \vdots \\ \tilde{z}(t-k) \end{bmatrix} \right\}$$

$$a^T = [a_k, \dots, a_{-k}]$$

Problem

Wyznaczyć wektor współczynników a spełniający warunki

$a^T R a \rightarrow \min$

$$a^T e = 1$$

gdzie $e = [1, \dots, 1]^T$.

Rozwiązanie

$$a = \frac{R^{-1}e}{e^T R^{-1}e}$$

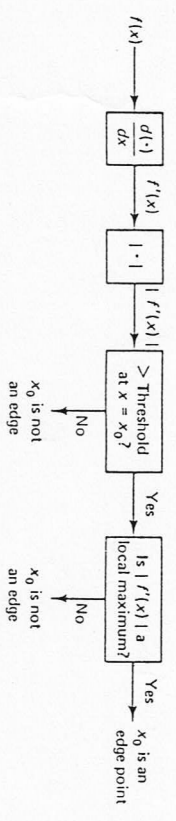
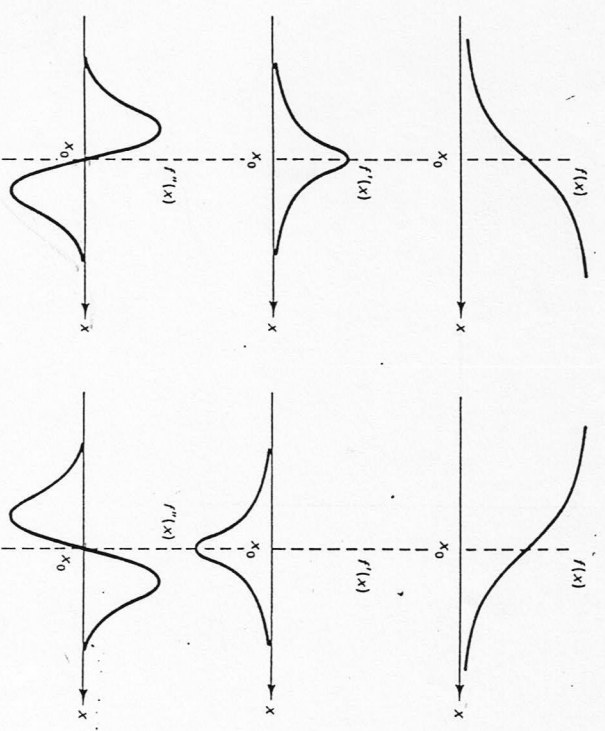
- jeśli szum ma rozkład normalny, filtr typu L staje się filtrem uśredniającym

- jeśli szum ma rozkład równomierny, filtr typu L działa podobnie jak filtr środkowy

- jeśli szum ma rozkład Laplace'a, filtr typu L działa podobnie jak filtr medianowy

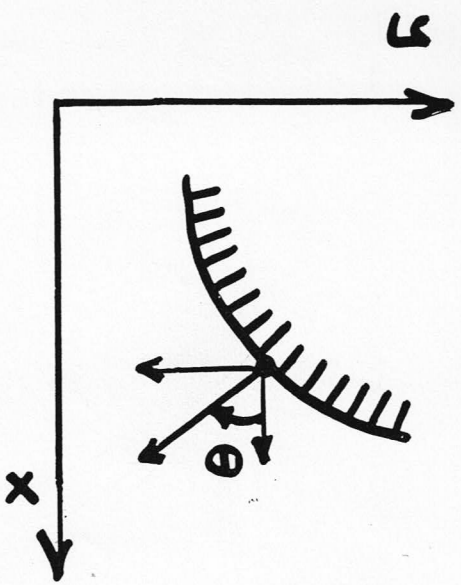
Nykrwanie krauwetzki

analiza dla sygnaliu
ciaglych jednowymiarowych



Schemat detektora

analiza dla sygnaliu
ciaglych dwuwymiarowych



$$\nabla f(x,y) = \begin{bmatrix} \frac{\partial f(x,y)}{\partial x} \\ \frac{\partial f(x,y)}{\partial y} \end{bmatrix} =$$

$$= \begin{bmatrix} f_x(x,y) \\ f_y(x,y) \end{bmatrix}$$

gradient Roberta

0	1
-1	0

f_x

1	0
0	-1

f_y

gradient Prewitza

-1	0	1
-1	0	1
-1	0	1

f_x

-1	-1	-1
0	0	0
1	1	1

f_y

gradient Sobela

-1	0	1
-2	0	2
-1	0	1

f_x

-1	-2	-1
0	0	0
1	2	1

f_y

Wyznaczenie kierunku o

określonej orientacji

directional gradients

compass operators

maski do wyznaczenia gradientów kierunkowych metodą Prewitza

1	1	1
0	0	0
-1	-1	-1

↑ N

1	1	0
1	0	-1
0	-1	-1

↖ NW

1	0	-1
1	0	-1
1	0	-1

← W

0	-1	-1
1	0	-1
1	1	0

↙ SW

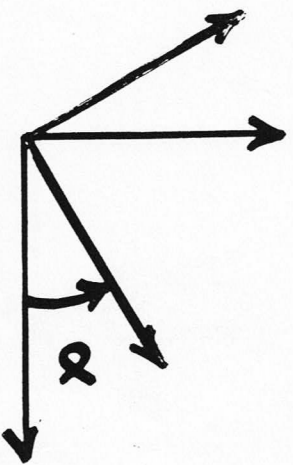
$$\theta(x, y) = \arctg \left(\frac{f_y(x, y)}{f_x(x, y)} \right)$$

$$|\nabla f(x, y)| =$$

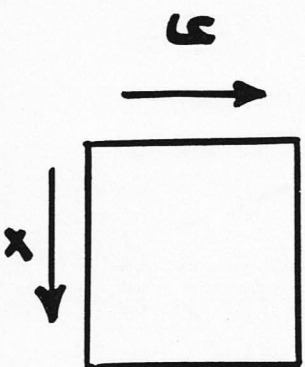
$$= \sqrt{f_x^2(x, y) + f_y^2(x, y)}$$

wielkość gradientu jest niezmiennicza względem obrotu na płaszczyźnie xy

$$\begin{cases} x' = x \cos \alpha - y \sin \alpha \\ y' = x \sin \alpha + y \cos \alpha \end{cases}$$



Wyznaczenie gradientu
jakości dla dyskretnego
sygnału dwuwymiarowego
gradient operators
nondirectional gradient



$$g(m, n) = \sqrt{f_x^2(m, n) + f_y^2(m, n)}$$

Aby uprościć obliczenia korzysta się niekiedy z zależności

$$g(m, n) = |f_x(m, n)| + |f_y(m, n)|$$

-1	-1	-1
0	0	0
1	1	1

↓ S

-1	-1	0
-1	0	1
0	1	1

↘ SE

-1	0	1
-1	0	1
-1	0	1

→ E

0	1	1
-1	0	1
-1	-1	0

↗ NE

Przygotuj innych maszek wykorzystanych do liczenia gradientów kierunkowych

5	5	5
-3	0	-3
-3	-3	-3

Kirscha

1	1	1
1	-2	1
-1	-1	-1

?

Wyznaczenie gradientu metodą szablony

$$g(m, n) =$$

$$\max \{ |g_N(m, n)|, |g_W(m, n)|, |g_{NW}(m, n)|, |g_{SW}(m, n)| \}$$

$$|g_{NW}(m, n)|, |g_{SW}(m, n)| \}$$

Wyznaczenie gradientu przy użyciu filtru medianowego

$$g(m, n) =$$

$$= C(m, n) - C(m, n-1)$$

gotzie

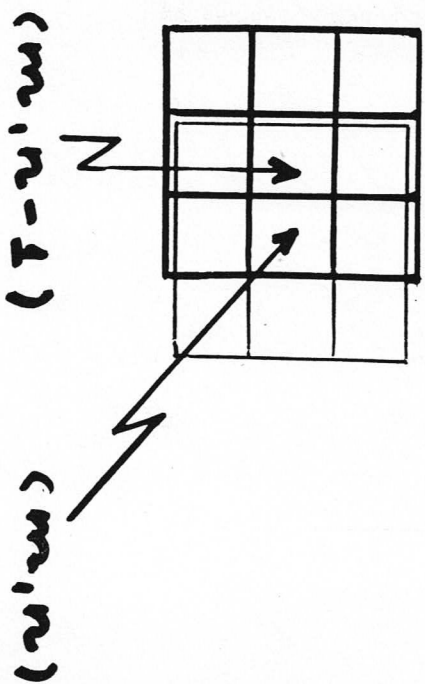
Metoda stochastycznego gradientu

$$C(m, n) =$$

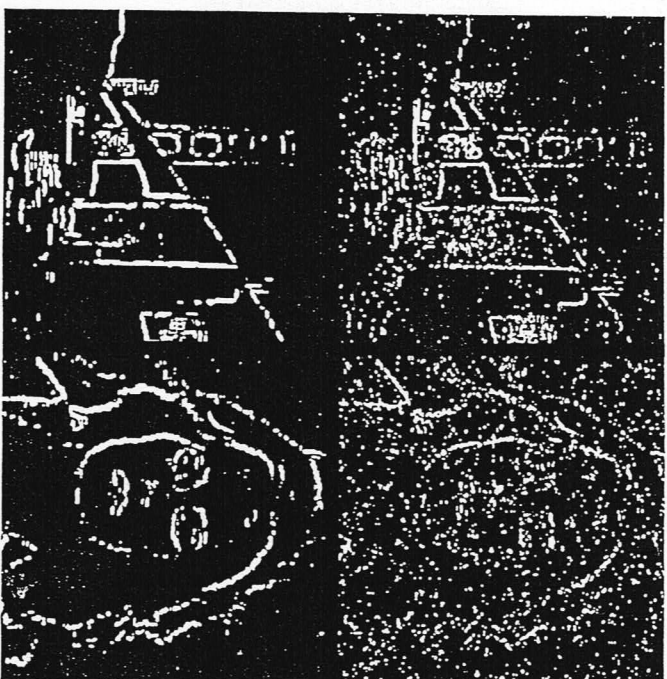
$$= \text{med} \{ f(m+i, n+j),$$

$$i = -k, \dots, 0, \dots, k$$

$$j = -k, \dots, 0, \dots, k \}$$



	SNR = 1					SNR = 9								
3 × 3	0.97	0	-0.97			0.776	0	-0.776						
	1.00	0	-1.00			1.00	0	-1.00						
	0.97	0	-0.97			0.776	0	-0.776						
5 × 5	0.802	0.836	0	-0.836	-0.802	0.267	0.364	0	-0.364	-0.267				
	0.845	0.897	0	-0.897	-0.845	0.373	0.562	0	-0.562	-0.373				
	0.870	1.00	0	-1.00	-0.870	0.463	1.00	0	-1.00	-0.463				
	0.845	0.897	0	-0.897	-0.845	0.373	0.562	0	-0.562	-0.373				
	0.802	0.836	0	-0.836	-0.802	0.267	0.364	0	-0.364	-0.267				
7 × 7	0.641	0.672	0.719	0	-0.719	-0.672	-0.641	0.073	0.240	0.283	0	-0.283	-0.140	-0.073
	0.656	0.719	0.781	0	-0.781	-0.719	-0.656	0.104	0.213	0.348	0	-0.348	-0.213	-0.104
	0.688	0.781	0.875	0	-0.875	-0.781	-0.688	0.165	0.354	0.579	0	-0.579	-0.354	-0.165
	0.703	0.813	1.00	0	-1.00	-0.813	-0.703	0.195	0.463	1.00	0	-1.00	-0.463	-0.195
	0.688	0.781	0.875	0	-0.875	-0.781	-0.688	0.165	0.354	0.579	0	-0.579	-0.354	-0.165
	0.656	0.719	0.781	0	-0.781	-0.719	-0.656	0.104	0.213	0.348	0	-0.348	-0.213	-0.104
	0.641	0.672	0.719	0	-0.719	-0.672	-0.641	0.073	0.140	0.283	0	-0.283	-0.140	-0.073



Porównanie metody Sobela (góra) oraz metody stochastycznego gradientu (dół); SNR = 10dB

Tworzenie map krajoznazczy

edge maps

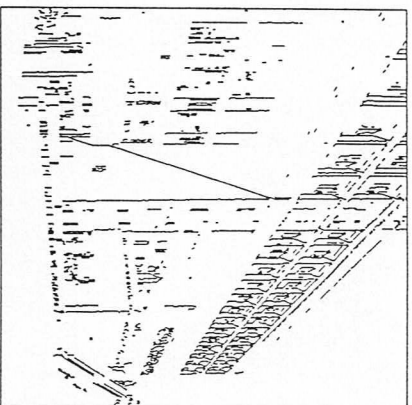
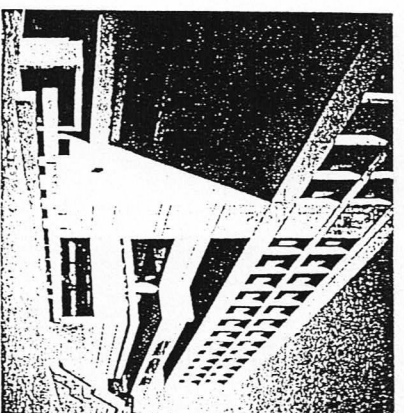
$$e(m, n) = \begin{cases} 1 & g(m, n) > g_0 \\ 0 & g(m, n) \leq g_0 \end{cases}$$

Przy g_0 wybiera się naj-
czystszy piksel, aby warunek
 $g(m, n) > g_0$ był spełniony
dla 5% - 10% pikseli

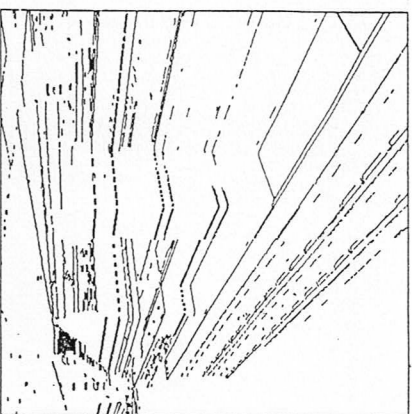
metoda adaptacyjnego
doboru progu

$$g_0(m, n) = \bar{g}(m, n) (1 + \epsilon)$$

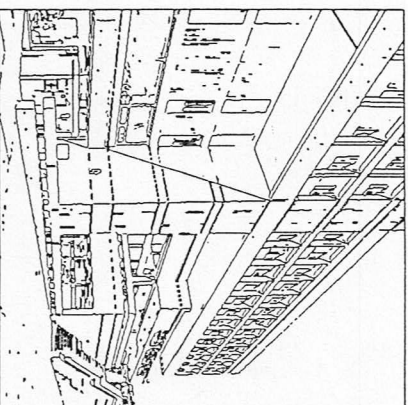
gdzie $\bar{g}(m, n)$ oznacza
średnią wartość sygnału
 $g(m, n)$ w pewnym obsza-
rze lokalnym o średnicy w
punktach (m, n)



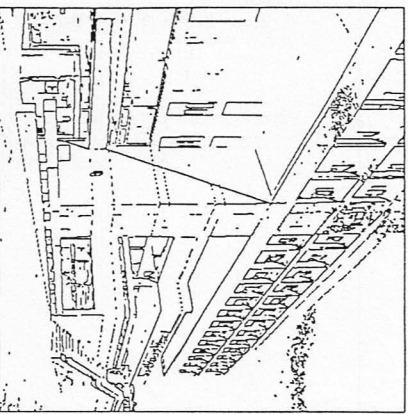
piorowy



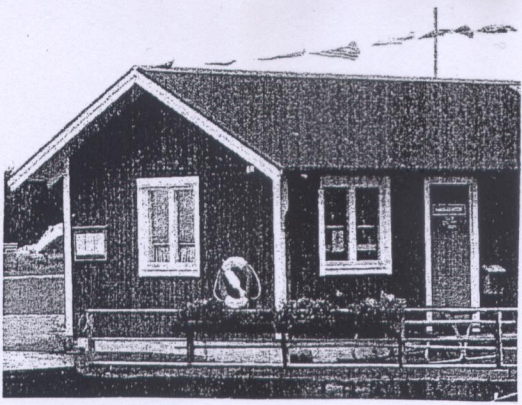
poziomy



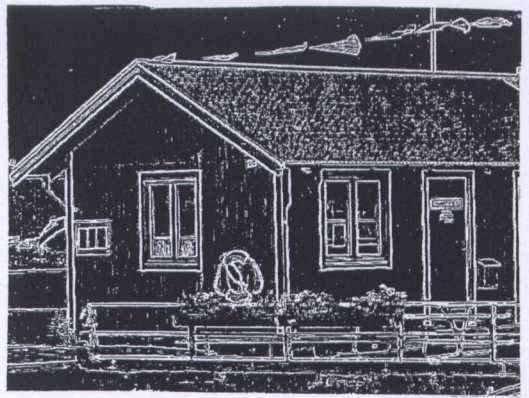
Sobela



Robertsa



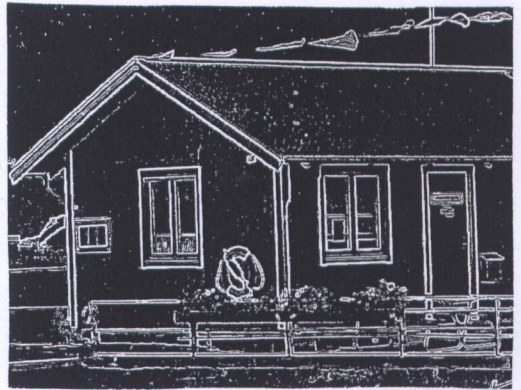
oryginał



Roberts



Sobel



Prewitt

Metoda Canny'ego (1986)

Krok 1

Wygładzanie obrazu przy
użyciu filtru Gaussa z maską
o wymiarach $K \times K$
i odwariancją σ^2

$$f(m, n) = O(m, n) ** h(m, n)$$

$O(m, n)$ – obraz oryginalny
 $h(m, n)$ – odpowiedź impulsowa
filtru Gaussa
 $f(m, n)$ – obraz wygładzony

analogowy „prototyp” filtru
Gaussa

$$h(x, y) = \frac{1}{2\pi\sigma^2} e^{-\frac{x^2+y^2}{2\sigma^2}}$$

$$= \frac{1}{\sqrt{2\pi}\sigma} e^{-\frac{x^2}{2\sigma^2}} \cdot \frac{1}{\sqrt{2\pi}\sigma} e^{-\frac{y^2}{2\sigma^2}}$$